

Euler-Picard-DGlen und **Arithmetische Ball-Uniformisierungen**

R.-P. Holzapfel,
ehem.
Akademie der Wiss. / Humboldt-Univ.

Hypergeometrische (gewöhnliche) DGL.en,

$$x(1-x)f'' + (c - (a+b+1)x)f' - abf = 0, \quad a, b, c \in \mathbb{Q}$$

mit Lösungen:

hypergeometrische Integrale,
hypergeometrische Reihen/Funktionen:

$$f = f(x) = \int_0^1 t^{b-1} (1-t)^{c-b-1} (1-xt)^{-a} dt,$$
$$1 + \frac{a \cdot b}{1 \cdot c} x + \frac{a(a+1) \cdot b(b+1)}{1 \cdot 2 \cdot c(c+1)} x^2 + \dots$$

Höherdimensional,
(zyklo-elliptische) Kurvenfamilie \mathcal{Y}/S :

$$y^m = (x - 1)^b x^{b_0} (x - t_1)^{b_1} \cdot \dots \cdot (x - t_n)^{b_n}$$

$$m, b, b_0, b_1, \dots, b_n \in \mathbb{N}_+ \text{ fest.}$$

Parameterraum $S \subset \mathbb{A}^n$: $0, 1 \neq t_k$, $t_i \neq t_j (i \neq j)$, mit Ring der regulären (rationalen) Funktionen

$$\mathbb{C}[S] = \mathbb{C}[t_1, \dots, t_n, (t_i - 1)^{-1}, t_j^{-1}, (t_i - t_j)^{-1}],$$

$$i, j = 1, \dots, n (i \neq j).$$

\mathbb{C} -Algebra (nichtkommutativ) von Differential-Operatoren

$$\mathbb{C}[S][D] = \mathbb{C}[S][D_1, \dots, D_n], \quad D_i := \frac{\partial}{\partial t_i}$$

Multiplikation bzgl. der Aktion auf den rationalen Funktionen-Körper $\mathbb{C}(S) = \mathbb{C}(t_1, \dots, t_n)$.

$\mathbb{C}[S][D]$ -Operationen werden fortgesetzt auf

$$\mathbb{C}(\mathcal{Y}) = \mathbb{C}(S)(x, y)$$

Gauß-Manin-Zusammenhang

Ausdehnung der Derivationen auf Differentialformen, z.B.

$\omega = \frac{dx}{y}$, erfassen. Gelingt modulo exakter

Differentialformen:

$$0 \longrightarrow d\mathcal{O}_{\mathcal{Y}} \longrightarrow \Omega_{\mathcal{Y}/S}^1 \longrightarrow \mathcal{H}_{DR}^1(\mathcal{Y}/S) \longrightarrow 0$$

Exakte Diff.-Formen

Relative Diff.-Formen

$\mathbb{C}[S][D]$ -Modulgarbe

Zyklen-Familie $\alpha = \{\alpha_t\}_{t \in W}$ über Wegen $W \subset S$: lokal konstanter Homologiegarbe $\mathcal{H}_1(\mathcal{Y}/S, \mathbb{Z})$, Durch faserweise Integration und analytische Fortsetzung gewinnt man $\pi_1(S)$ -multivalente, lokal holomorphe, Funktionen $\oint_{\alpha} \omega$ auf S ,

z.B. $\oint_{\alpha} \frac{dx}{y}$ für $\omega = \frac{dx}{y}$. Diese sind mit unseren Derivationen

$\delta \in \mathbb{C}[S][D]$ verträglich.

Eulersche Differential-Operatoren:

$$\begin{aligned}\varepsilon_{i,j} &= D_i D_j + \frac{l}{m(t_j - t_i)} (b_j D_i - b_i D_j) \\ &\in D_i D_j + \mathbb{C}[S] D_i + \mathbb{C}[S] D_j, \quad i \neq j,\end{aligned}$$

annullieren $\frac{x^k dx}{y^l} \in H_{DR}^1(\mathcal{Y}/S)$.

Picardsche Differential-Operatoren:

$$\varepsilon_{i,i} \in D_i D_i + (\mathbb{C}[S]D_1 + \dots + \mathbb{C}[S]D_n) + \mathbb{C}[S],$$

explizit (quantitativ) bekannt, kompliziert,

in Abhängigkeit von $m, n, b, b_0, b_1, \dots, b_n, k, l,$

annullieren ebenfalls $\frac{x^k}{y^l} \in H_{DR}^1(\mathcal{Y}/S)$.

Euler-Picard-System (der Kurvenfamilie \mathcal{Y}/S):

$$\varepsilon_{11}, \varepsilon_{12}, \dots, \varepsilon_{1n},$$

$$\varepsilon_{21}, \varepsilon_{22}, \dots, \varepsilon_{2n},$$

.....

$$\varepsilon_{n1}, \varepsilon_{n2}, \dots, \varepsilon_{nn}$$

Beispiel: Picard-Kurvenfamilie

$$\mathcal{Y}/S : y^3 = (x-1)x(x-t_1)(x-t_2).$$

$$\begin{aligned} \varepsilon_{11} = D_1^2 &+ \frac{(-5t_1^2 + 4t_1t_2 + 3t_1 - 2t_2)}{3(t_1-1)t_1(t_2-t_1)} D_1 \\ &+ \frac{(t_2-t_1)t_2}{3(t_1-1)t_1(t_2-t_1)} D_2 + \frac{t_2-t_1}{9(t_1-1)t_1(t_2-t_1)} \end{aligned}$$

annulliert $\frac{dx}{y} = \frac{dx}{\sqrt[3]{(x-1)x(x-t_1)(x-t_2)}}$ und damit

Kurvenintegrale $\oint \frac{dx}{\sqrt[3]{(x-1)x(x-t_1)(x-t_2)}}$.

Theorem (Bi-Korrespondenz).

A) Das Euler-Picard-System der Kurvenfamilie \mathcal{Y}/S für (residuenfreie) $\frac{x^k dx}{y^l}$ hat eine (lokale) Lösungsbasis der Gestalt

$$\oint_{\alpha_0} \frac{x^k dx}{y^l}, \oint_{\alpha_1} \frac{x^k dx}{y^l}, \dots, \oint_{\alpha_n} \frac{x^k dx}{y^l},$$

$\alpha_i = \alpha_i(t_1, \dots, t_n)$ Zyklenfamilie über S .

B) Jeder Differential-Operator aus $\mathbb{C}[S][D_1, \dots, D_n]$, der alle Integral-Lösungen in A) annulliert, liegt im Linksideal, das von den zugehörigen Euler-Picard-Operatoren ε_{ij} ($i, j = 1, \dots, n$) erzeugt wird.

Monodromie:

Die Fundamentalgruppe $\pi_1(S)$ operiert auf Zyklen und damit auf dem Raum der Lösungsbasen. Lösungen werden **multivalent** durch analytische Fortsetzung.

Der Lösungsraum wird zum Darstellungsraum der Fundamentalgruppe:

$$\pi_1(S) \twoheadrightarrow \Gamma \hookrightarrow \mathrm{Gl}_{n+1}(\mathbb{C}).$$

Die Bildgruppe Γ bezeichnet man als

Monodromiegruppe

des DGI-Systems.

Universelle Überlagerung \mathcal{U} von S uniformisiert die multivalenten Lösungen.

$$\mathcal{U} \longrightarrow S, \quad \text{mit Faktorraum } \mathcal{U}/\pi_1(S) = S.$$

Def. Die hyperelliptische Kurvenfamilie $\mathcal{Y}/S : y^m = p_n(x; t)$ heißt **Ball-Familie**, wenn die zugehörige Monodromiegruppe Γ diskrete Untergruppe der unitären Gruppe $\mathbb{U}((n, 1), \mathbb{C})$ ist und $\Gamma \backslash \mathbb{B}$ eine Varietät. In diesem Falle faktorisiert die Uniformisierung über den n -dimensionalen komplexen Einheitsball

$$\mathbb{B}^n : |z_1|^2 + |z_2|^2 + \dots + |z_n|^2 < 1 \quad (|z_0|^2)$$

$$\mathcal{U} \longrightarrow \mathbb{B}^n \xrightarrow{p_\Gamma} \overline{S} \text{ (alg. compactf.ion of } S)$$

$$\mathbb{B}^n \twoheadrightarrow p_\Gamma(\mathbb{B}^n) \text{ verzweigte Ball-Uniformisierung}$$

Mostow, Deligne beweisen (1980-s) (Vision/Hypothese von Picard in 1890-s):

Für $n > 1$ gibt es (nur) endlich viele Ball-Familien

$$\mathcal{Y}/S : y^m = (x - 1)^b x^{b_0} \cdot \dots \cdot (x - t_n)^{b_n}.$$

Vollständige (PTDM-) Liste

(Picard, Terada, Deligne, Mostow):

Löse Diophantische Gleichungssysteme
in den Exponenten $m, b, b_0, b_1, \dots, b_n$

Dioph. Gl.-System:

$$n = 2$$

$$\begin{pmatrix} 0 & \frac{m}{m-b_0-b_1} & \frac{m}{m-b_0-b_2} & \frac{m}{m-b_0-b_3} \\ \frac{m}{m-b_1-b_0} & 0 & \frac{m}{m-b_3-b_2} & \frac{m}{m-b-b_3} \\ \frac{m}{m-b_2-b_0} & \frac{m}{m-b_2-b_1} & 0 & \frac{m}{m-b_2-b_3} \\ \frac{m}{m-b_3-b_0} & \frac{m}{m-b_3-b_1} & \frac{m}{m-b_3-b_2} & 0 \end{pmatrix} \in \text{Mat}_4(\mathbb{N}_+ \cup \infty)$$

$b_3 := b$, Vorauss. $0 < \frac{b_i}{m} < 1$.

genau 27 Fälle.

Shimura-Varietäten

Beispiel: Ball-Quotienten

The unitary group $\mathbb{U}((n, 1), \mathbb{C})$ wirkt transitiv auf den Ball \mathbb{B}^n .

\mathcal{O}_K bezeichne den Ring der ganzen Zahlen des imaginär quadratischen Zahlkörpers K .

Die arithmetische Gruppe $\Gamma_K = \mathbb{U}((n, 1), \mathcal{O}_K)$ heißt volle Picardsche Modulgruppe (von K , der Dimension n). Jede Untergruppe Γ endlichen Indexes von $\mathbb{U}((n, 1), \mathcal{O}_K)$ heißt

Picardsche Modulgruppe,
 \Rightarrow **Picardsche Modulvarietät** $\Gamma \backslash \mathbb{B}$

Picardsche Modulflächen

$$\widehat{\Gamma \backslash \mathbb{B}}, \quad \mathbb{B} = \mathbb{B}^2,$$

zu einem $K = \mathbb{Q}(\sqrt{-d})$, $d \in \mathbb{N}_+$, quadratfrei;
nicht singularitätenfrei

Glattes Beispiel: Körper der Eisensteinzahlen,
Kongruenzuntergruppe $\Gamma(\sqrt{-3}) := \Gamma_K(\sqrt{-3})$

$$\widehat{\Gamma(\sqrt{-3}) \backslash \mathbb{B}} = \mathbb{P}^2 \text{ (komplexe projektive Ebene)}$$

Namensgebung (1982)

Diese Shimura-Fläche $\Gamma(\widehat{\sqrt{-3}})\backslash\mathbb{B} = \mathbb{P}^2$ ist gleichzeitig Modulfläche der Kurvenfamilie

$$\mathcal{Y}/S : y^3 = (x - 1)x(x - t_1)(x - t_2).$$

Satz. Die zugehörige Monodromie-Gruppe stimmt mit Modulgruppe $\Gamma(\sqrt{-3})$ überein.

Schnittstelle von

Picard-Lefschetz-Monodromie

(Analysis / Algebraische Topologie),

Shimura's **Modul**-Varietäten

(Algebraische Geometrie / Zahlentheorie).

Fundamentalbereichs-Volumina

Arithmetisches Volumen eines Γ_K -Fu.Ber. \mathcal{F}_{Γ_K} :

$$\text{Vol}_{ar}(\mathcal{F}_{\Gamma_K}) = \prod_{2 \leq 2k \leq n} L(\chi_K, -2k) \cdot \prod_{1 \leq 2k-1 \leq n} \zeta(-(2k-1))$$

= $\int_{\mathcal{F}_{\Gamma_K}} \alpha$, mit "arithmetischer" \mathbb{B}^n -Volumenform α ;

$$\zeta(s) = \sum_{m=1}^{\infty} \frac{1}{m^s}, \text{ Riemannsche Zeta-Funktion,}$$

$$L(\chi_K, s) = \sum_{m=1}^{\infty} \frac{\chi_K(m)}{m^s} \text{ Dirichletsche L-Reihe.}$$

Zahlentheor. Hintergrund:

p -adische Gruppen G_p/\mathbb{Q}_p , mit

$$G(\mathbb{Q}) = \mathrm{SU}((n, 1), K);$$

p -adische $G_p(\mathbb{Z}_p)$ -Volumina berechnen;

Auf Adèle-Gruppe $G(\mathbb{A}_{\mathbb{Q}}) \subset \prod_p G_p(\mathbb{Q}_p)$

Tamagawa-Maß, Tamagawa-Zahl

\implies

arithmetisches Volumen $Vol_{ar}(\mathcal{F}_{\Gamma_K})$.

Euler- & Signatur-Volumina

Eulerzahl $Eul(X) = \sum_i (-1)^i \dim_{\mathbb{R}} H_i(X, \mathbb{R})$

Beschränkung auf $n = 2$ (komplexe F lächen):

$$b_0 - b_1 + b_2 - b_3 + b_4, \quad (b_i = \text{i-te Betti-Zahl})$$

Signatur $Sig(X) =$ Schnitt-Signatur auf $H_2(X, \mathbb{R})$

$$b_2^+ - b_2^-$$

Es existieren eindeutig (Lie-invariante) Volumen-Formen ε und σ auf $\mathbb{B} = \mathbb{B}^2$, so daß

$$Eul(\Gamma \backslash \mathbb{B}) = \int_{\mathcal{F}_\Gamma} \varepsilon, \quad Sig(\Gamma \backslash \mathbb{B}) = \int_{\mathcal{F}_\Gamma} \sigma,$$

falls $X = \Gamma \backslash \mathbb{B}$, glatt, kompakt, unverzweigt.

Def. ε heißt **Euler-Form** und σ **Signatur-Form**.

Existenz solcher Ball-Gitter Γ : Hirzebruch, Borel (50-er).

Für die meisten Picard-modularen Kongruenz-Untergruppen Γ gilt:

Toroidale Kompaktif. $\overline{\Gamma \backslash \mathbb{B}}$ ist glatt.

Das wird von nun an vorausgesetzt. Dann gilt

$$3 \cdot \int_{\mathcal{F}_\Gamma} \sigma = 3 \cdot \text{Sig}(\overline{\Gamma \backslash \mathbb{B}}) - (T^2) - \langle \mathfrak{v} - \mathfrak{v}^{-1}, \mathfrak{v}^{-1} \rangle_0$$

$\text{Div}(\overline{\Gamma \backslash \mathbb{B}}) \ni v_1 C_1 + \dots + v_r C_r$ Verz.-Divisor.

$\mathfrak{v} = (v_1, \dots, v_r) \in \mathbb{N}_{\geq 2}^r$ Verz.-Vektor,

$\mathfrak{v}^{-1} = (v_1^{-1}, \dots, v_r^{-1})$ inverser Verz.-Vektor

$Div(\overline{\Gamma \setminus \mathbb{B}}) \ni T$ Kompaktif.-Kurve

$\langle \cdot, \cdot \rangle$ Schnittmetrik auf $Div_{\mathbb{Q}} \overline{\Gamma \setminus \mathbb{B}}$,

$\langle \cdot, \cdot \rangle_{\mathbb{C}}$ Einschränkung auf Verzweigungsraum

$$V = \mathbb{Q} \cdot C_1 + \dots + \mathbb{Q} \cdot C_r \subset Div_{\mathbb{Q}} \overline{\Gamma \setminus \mathbb{B}},$$

Punktierete / gestutzte Metriken auf V :

$\langle \cdot, \cdot \rangle^*$: 0-Setzen aller Selbstschnitte der C_i ;

$\langle \cdot, \cdot \rangle_0$: 0-Setzen aller $\langle C_i, C_j \rangle$, $i \neq j$;

$$\langle \cdot, \cdot \rangle_{\mathbf{V}} = \langle \cdot, \cdot \rangle^* + \langle \cdot, \cdot \rangle_0$$

Euler-Volumen des Fund.-Ber.:

$$\int_{\mathcal{F}_\Gamma} \varepsilon = \text{Eul}(\overline{\Gamma \backslash \mathbb{B}}) - 2H_0 - 2 \langle \mathbf{1} - \mathfrak{v}^{-1}, \mathfrak{v}^{-1} \rangle_0 \\ - \frac{1}{2} \langle \mathbf{1} - \mathfrak{v}^{-1}, \mathbf{1} - \mathfrak{v}^{-1} \rangle^* .$$

$H_0 =$ Anzahl der **rationalen** Kompaktif.-Kurven.

$$\mathbf{1} = (1, \dots, 1) \in \mathbb{N}^r .$$

Abgleichung der drei Volumina

$$Vol_{Eul}(\mathcal{F}_\Gamma) = \int_{\mathcal{F}_\Gamma} \varepsilon = Eul(\overline{\Gamma \backslash \mathbb{B}}) - \dots - 2H_0$$

= (Prop)

$$3 \cdot Vol_{Sig}(\mathcal{F}_\Gamma) = \int_{\mathcal{F}_\Gamma} 3 \cdot \sigma = 3 \cdot Sig(\overline{\Gamma \backslash \mathbb{B}}) - \dots - (T^2)$$

=

$$c_\Gamma \cdot Vol_{Eul}(\mathcal{F}_\Gamma) = \int_{\mathcal{F}_\Gamma} c_\Gamma \cdot \alpha \quad (<= \text{L-Reihen-Produkt})$$

c_Γ berechenbarer Faktor
(für Picardsche Kongruenz-Gruppen Γ).

Proportionalität (Dioph. Gl.):

$$\begin{aligned} \text{Eul}(\overline{\Gamma \backslash \mathbb{B}}) - 2H_0 - 2 \langle \mathbf{1} - \mathfrak{v}^{-1}, \mathfrak{v}^{-1} \rangle_0 - \frac{1}{2} \langle \mathbf{1} - \mathfrak{v}^{-1}, \mathbf{1} - \mathfrak{v}^{-1} \rangle^* \\ = 3 \cdot \text{Sig}(\overline{\Gamma \backslash \mathbb{B}}) - (T^2) - \langle \mathfrak{v} - \mathfrak{v}^{-1}, \mathfrak{v}^{-1} \rangle_0 \end{aligned}$$

Verallgemeinerung der

Proportionalitäts-Formel

von Miyaoka, Yau, Mumford (unverzweigt),
Hirzebruch, Kobayashi (verzweigte Spezialfälle).

Bem.: $\text{Eul}(X) = 3 \cdot \text{Sig}(X)$ extremal für F lächen.

Pic. Modulflächchen approximieren diese Relation. Rational:

$$\Gamma_{\mathbb{Q}(\sqrt{-d})} \backslash \widehat{\mathbb{B}}, \quad \mathbb{B} = \mathbb{B}^2, \quad d = 1, 2, 3, 5, 6, 7, 11, 15, 19, 23, 31, 39, 47.$$

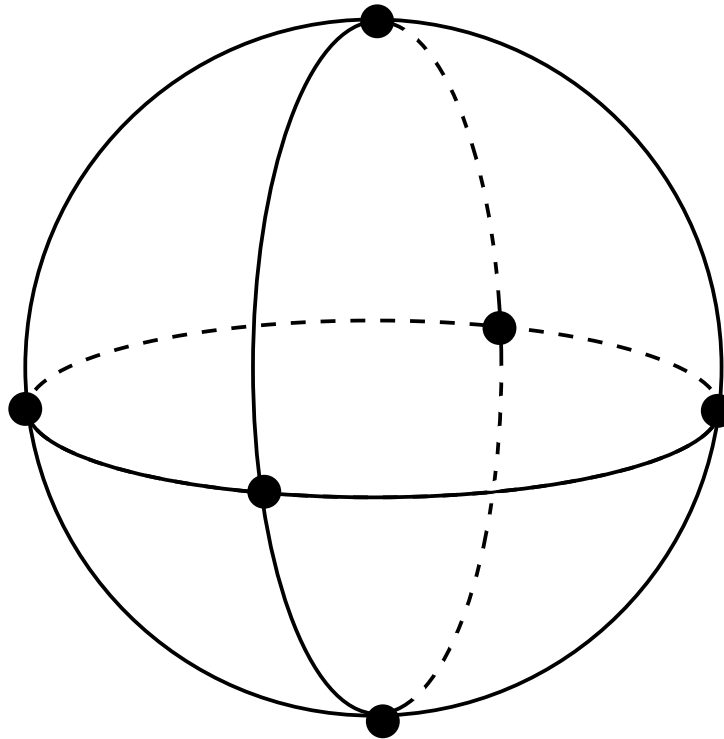
Weitere Folgerungen:

Es gibt unendlich viele Picardsche Modulgruppen Γ , die die projektive Ebene \mathbb{P}^2 als (kompaktif.) Quotientenf läche haben. (2003)

Es existieren Monodromie-Gruppen (von EP- DGI.en), die gleichzeitig Picardsche Modulgruppen sind.

Die bekannten sind eng mit den Bewegungs-Gruppen der regulären Polyeder verbunden.

Oktahedrale Pic. Modul läche



Auf $\widehat{\Gamma \setminus \mathbb{B}}$ liegen genau 3 rationale Kurven (\mathbb{P}^1) und genau 6 (Spitzen-)Singularitäten •

Shimura-Kurven

$$\Gamma \subset \Gamma_K = \mathbb{U}((2, 1), \mathbb{Z}[i]) \supset \Gamma_K(1 - i), \quad K = \mathbb{Q}(i)$$

Gaußsche Zahlen.

Komplexe projektive Ebene:

$$\Gamma_K(\widehat{1 - i}) \backslash \mathbb{B} = \mathbb{P}^2$$

$$\mathbb{B} \supset K\text{-Disc} \mapsto \text{Kurve/Zahlk.} \subset \mathbb{P}^2$$

Shimura's **kanonische Modelle**: (in Ebene !!):

Modul-/Shimura-Kurven

Eine klassische Modulform:

$$\sum_{N=0}^{\infty} \left(\left(\frac{3N}{2} - \frac{1}{8} \right) a_2(N) + 3 \sum_{m=1}^N \sigma(m) a_2(N - m) \right) q^N$$

$q = \exp(2\pi i\tau)$, $\tau \in \mathbb{H}$: $Im \tau > 0$,

$\sigma(m)$: Summe der Teiler von m ;

$a_2(k)$: Anzahl der \mathbb{Z} -Lösungen von $x^2 + y^2 = k$.

Theorem. Der N -te (Fourier-)Koeff. zählt die Modul-/Shimura-Kurven (der "Norm" N) der K -Discs (der "Norm" N) auf der $\Gamma(1 - i)$ -Ebene.

Picardsche Modulformen

der zugehörigen Kurvenfamilie $y^4 = p_2(x)p_3^2(x)$

Thetakonstanten $\vartheta \begin{bmatrix} \mathbf{p}/2 \\ \mathbf{q}/2 \end{bmatrix} ((u, v)) :=$

$$\sum_{\mathbf{n} \in \mathbb{Z}^3} \exp \left\{ \pi i \left(\mathbf{n} + \frac{\mathbf{p}}{2} \right) \Omega(u, v)^t \left(\mathbf{n} + \frac{\mathbf{p}}{2} \right) + 2\pi i \left(\mathbf{n} + \frac{\mathbf{p}}{2} \right) \frac{t \mathbf{q}}{2} \right\}$$

$\Omega : \mathbb{B} \hookrightarrow \mathbb{H}_3$ (Siegelgebiet),

mit Theta-Charakteristiken $\frac{\mathbf{p}}{2}, \frac{\mathbf{q}}{2} \in \{0, \frac{1}{2}\}^3 \subset \mathbb{Q}^3$,

$(\vartheta_0 : \vartheta_1 : \vartheta_2) : \mathbb{B} \longrightarrow \mathbb{P}^2$ alg. Werte in $\mathbb{Q}(i)$ -Punkten

Tetraedrale Pic. Modulformen

zur Picard-Kurvenfamilie $y^3 = p_4(x)$:

$$\mathbb{P}^2 = \Gamma(\widehat{1 - \omega}) \backslash \mathbb{B} \quad (\text{zu Eisensteinzahlen})$$

Fourier-Jacobi-Entwicklung der Thetas:

$$f(u, v) = \sum_{k=0}^{\infty} f_k(u) q^k, \quad q = e^{\frac{2\pi v}{\sqrt{3}}}$$

$u, v \in \mathbb{B}'$ (unbeschränktes Ball-Modell)

$f_k(u)$ klassische Theta-Funktionen zum Eisenstein-Gitter auf \mathbb{C} , explizit bekannt.

Dodekaeder/Ikosaeder

zur Kurvenfamilie $y^5 = p_5(x)$ und $\zeta = e^{\frac{2\pi i}{5}}$

$\widetilde{\mathbb{P}^2} = \Gamma(1 - \zeta) \backslash \mathbb{B}$, kompakt, del Pezzo (rat.)

Thetakonstanten $\Theta \begin{bmatrix} \mathbf{a}/10 \\ \mathbf{b}/10 \end{bmatrix} (\beta) =$

$$\sum_{\mathbf{n} \in \mathbb{Z}^6} \exp \left\{ \pi i \left(\mathbf{n} + \frac{\mathbf{a}}{10} \right) \Omega(\beta)^t \left(\mathbf{n} + \frac{\mathbf{b}}{10} \right) + 2\pi i \left(\mathbf{n} + \frac{\mathbf{a}}{10} \right) \frac{t \mathbf{b}}{10} \right\}$$

$\Omega : \mathbb{B} \hookrightarrow \mathbb{H}_6$ (Siegelgebiet, Geschlecht 6),

12 Dodekaeder-Fl. $\longrightarrow \theta_1 = \Theta_1|_{\mathbb{B}}, \dots, \theta_{12} = \Theta_{12}|_{\mathbb{B}}$
 (automorph auf \mathbb{B})

$$\begin{array}{ccc}
 \mathbb{B} & & \\
 \Gamma(1-\zeta) \downarrow & \searrow^{(\theta_1^5 : \dots : \theta_{12}^5)} & \\
 \widetilde{\mathbb{P}^2} & \longrightarrow & \mathbb{P}^{11}
 \end{array}$$

$$\mathbb{C}[\theta_1^5(\beta), \dots, \theta_{12}^5(\beta)] \cong \bigoplus_{n=0}^{\infty} H^0(\widetilde{\mathbb{P}^2}, \mathcal{O}_{\widetilde{\mathbb{P}^2}}(-nK_{\widetilde{\mathbb{P}^2}}))$$

Antikanonische Einbettung, antikanonischer Ring